

小規模河床形態の初期発達機構について

京都大学工学部 正員 中川 博次
 京都大学工学部 正員 辻本 晃郎
 水資源開発公団 正員 自閑 茂治
 京都大学大学院 学生員 ○富田 邦裕

1. まえがき 本研究は2次元小規模河床形態の初期発達機構を砂面不安定性解析との関連で考察するものである。

今回、前報¹⁾に示した実験(Run A)に加えて 中央粒径 0.05cm の砂を用いた同様の実験(Run B)を行い主としてこの結果をもとに検討を行った。

2. 初期発達過程についての実験結果 図1に示されるように河床高の標準偏差 O_y ($O_y^2 = \int_0^\infty S(k) dk$, $S(k)$: 波数スペクトル) は時間の平方根に比例して増大していることが今回の実験でも認められた。また波数スペクトルの時間的変化の例は図2に示される((a): 30秒～10分まで, (b) 平衡状態まで) Jainら²⁾及び前報¹⁾で指摘されるような顕著なスペクトルピークが発達初期に認められ、その波数は Airy の関係(後述)を満足する(図3)。

3. Fourier変換された河床砂面の不安定性解析

従来の移動床砂面の不安定性解析は規則波に対するものであったが初期砂面擾乱は河床面での砂粒のランダムな離脱・落下に伴う不規則なものと考えられ、その意味で Jainら²⁾のように砂面の Fourier変換に対して不安定性解析を行い、発達初期におけるいわゆる「波数選択的增幅機構」を調べることは意義深いと思われる。ところが Jainら²⁾の解析に用いたれた逓減距離等の仮定は従来の規則波に対する解析に適用すると従来受容されている結果と相反する面があるなど不合理さを免れない。

そこでここでは著者らがすでに提案した流砂の逓減距離を合理的に評価できる方法⁴⁾を採用して解析する。基礎式: $\frac{\partial Y}{\partial t} = A_1 d f \int_0^\infty p_s(x) f_x(x) dx - P_s(x)$ (1) ($p_s(x)$: pick-up rate, $f_x(x)$: step length の確率密度関数) を Fourier変換して次式を得る。

$$\frac{\partial Y}{\partial t} = A_1 d \hat{p}_s \hat{F}[f_x(x)] \{ F[f_x(x)] - 1 \} \quad (2), \quad \frac{\partial Y}{\partial t} = 1 + \gamma_p \psi_c \quad (3), \quad \hat{p}_s = \frac{\partial Y}{\partial t} \Big|_{t=0} \quad (4), \quad Y = F[\psi(x)],$$

ここで添字0は非擾乱時の値, $F[\cdot]$ は Fourier変換を表す, $p_s = p_s / d / (\alpha_F - 1) f$, $\tau_* = u_*^2 / (\alpha_F - 1) f d$ である。
 $step length$ の分布として平均値山の指數分布を採用すると, $F[f_x(x)] = (1 + i k_* \Lambda)^{-1}$ (5) であり、一方底面せん断力⁵⁾(については $T(x) = \beta f U^2 (1 - \alpha \frac{\partial h}{\partial x})$ (6) とする)³⁾ 式(6)より $\gamma_p \psi_c = 2 \frac{u'(x)}{U_0} - \alpha \frac{\partial h}{\partial x}$ (7) となり, $u'(x)$ は

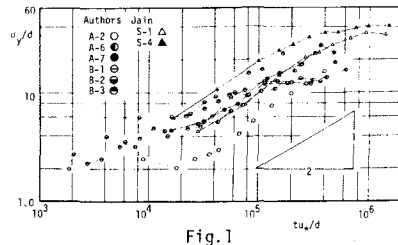


Fig. 1

は時間の平方根に比例して増大していることが今回の実験でも認められた。また波数スペクトルの時間的変化の例は図2に示される((a): 30秒～10分まで, (b) 平衡状態まで) Jainら²⁾及び前報¹⁾で指摘されるような顕著なスペクトルピークが発達初期に認められ、その波数は Airy の関係(後述)を満足する(図3)。

従来の移動床砂面の不安定性解析は規則波に対するものであったが初期砂面擾乱は河床面での砂粒のランダムな離脱・落下に伴う不規則なものと考えられ、その意味で Jainら²⁾のように砂面の Fourier変換に対して不安定性解析を行い、発達初期におけるいわゆる「波数選択的增幅機構」を調べることは意義深いと思われる。ところが Jainら²⁾の解析に用いたれた逓減距離等の仮定は従来の規則波に対する解析に適用すると従来受容されている結果と相反する面があるなど不合理さを免れない。

そこでここでは著者らがすでに提案した流砂の逕減距離を合理的に評価できる方法⁴⁾を採用して解析する。基礎式: $\frac{\partial Y}{\partial t} = A_1 d f \int_0^\infty p_s(x) f_x(x) dx - P_s(x)$ (1) ($p_s(x)$: pick-up rate, $f_x(x)$: step length の確率密度関数) を Fourier変換して次式を得る。

$$\frac{\partial Y}{\partial t} = A_1 d \hat{p}_s \hat{F}[f_x(x)] \{ F[f_x(x)] - 1 \} \quad (2), \quad \frac{\partial Y}{\partial t} = 1 + \gamma_p \psi_c \quad (3), \quad \hat{p}_s = \frac{\partial Y}{\partial t} \Big|_{t=0} \quad (4), \quad Y = F[\psi(x)],$$

ここで添字0は非擾乱時の値, $F[\cdot]$ は Fourier変換を表す, $p_s = p_s / d / (\alpha_F - 1) f$, $\tau_* = u_*^2 / (\alpha_F - 1) f d$ である。
 $step length$ の分布として平均値山の指數分布を採用すると, $F[f_x(x)] = (1 + i k_* \Lambda)^{-1}$ (5) であり、一方底面せん断力⁵⁾(については $T(x) = \beta f U^2 (1 - \alpha \frac{\partial h}{\partial x})$ (6) とする)³⁾ 式(6)より $\gamma_p \psi_c = 2 \frac{u'(x)}{U_0} - \alpha \frac{\partial h}{\partial x}$ (7) となり, $u'(x)$ は

* Hiroji NAKAGAWA, Tetsuro TSUJIMOTO, Shigeharu JIKAN and Kunihiro TOMITA

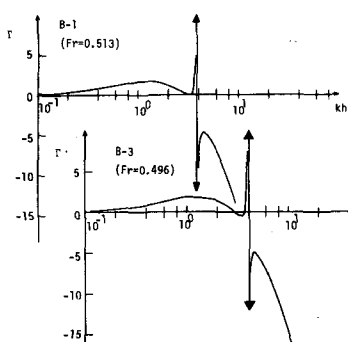


Fig.5

擾動流速 ζ これと $\phi(x)$ がボテンシャル流

理論 ζ を与えるものとする。このとき次式が得られる。

$$\frac{\partial Y}{\partial t} = -A_1 d\hat{p}/dt \{ 2F_* k - \alpha(R_* - 1)ik \} \frac{k\Delta t(k\Delta t + i)}{1 + (k\Delta t)^2} Y \quad (8)$$

$$\text{ここで } F_* = \frac{1 - Fr^2 k \tanh kh}{\tanh kh - Fr^2 kh} \quad \cdots \cdots \quad (9)$$

$$R_* = Fr^2 kh \operatorname{sech} kh / (Fr^2 kh - \tanh kh) \quad \cdots \cdots \quad (10)$$

である。 $Y(k, t)Y^*(k, t) = S(k, t)$ である(Y^* は Y の complex conjugate)これを用いると結局次式を得る。

$$S(k, t) = S(k, 0) \exp(2\alpha_* t) \quad \cdots \cdots \quad (11)$$

$$\alpha_* = A_1 d\hat{p}/dt, \quad \Gamma = -\frac{k^2 \Delta t}{1 + (k\Delta t)^2} \{ \alpha(R_* - 1) + 2k\Delta t F_* \} \quad (12)$$

である。 $\Delta t = \gamma_1 \Delta \theta$, $\alpha = \gamma_2/Fr^2$ とおき³⁾ $\gamma_1 = 1.0$ とおきときの $k \sim kh$ の計算曲線が図-4で今回実験条件についての計算曲線($\gamma_1 = 1.0, \gamma_2 = 1.2$)が図-5である。

図の下は式(12)の分子 $=0$ となるところ(増幅率無限大)でこの波数のスペクトルが初期に増大する(図-3の実線)。さて、砂粒運動の不規則性に起因する広波数域に亘る生成成分(特に高波数域で顕著)の効果を除去するため図-6に示すように規格化し、各成分のスペクトル $S_*(k, t) \equiv S_*(k, t) \Delta k t$ の時間的変化を調べた。この結果が図-7で、図中には矢印で示す式(12)で理論的に計算される変化率(増幅率)と良く対応している。

4. 考察 砂面をFourier変換して行う不安

定性解析によて初期発達過程における波数スペクトルの時間的変化がかなりの程度定量的に説明し得る。但しここで不安定構造に起因する各スペクトル成分の変化の他に、とくにスペクトル図2でビーグー波数 ω_p を看目するとよくわかるように波数の低波数側への移行機構が重ね合っており(ビーグー波数の時間的変化率と波数の関係を図-8に示した)、今後これらを併せて検討を進める予定である。

参考文献 1) 佐本・自賀・高田: 関西支社年譲, 1980. 2) Jain & Kennedy: J.R.M., 1974.
3) 中川・佐本: 土木学会論文集 291号, 1979. 4) 中川・佐本: 土木学会論文集 305号, 1981

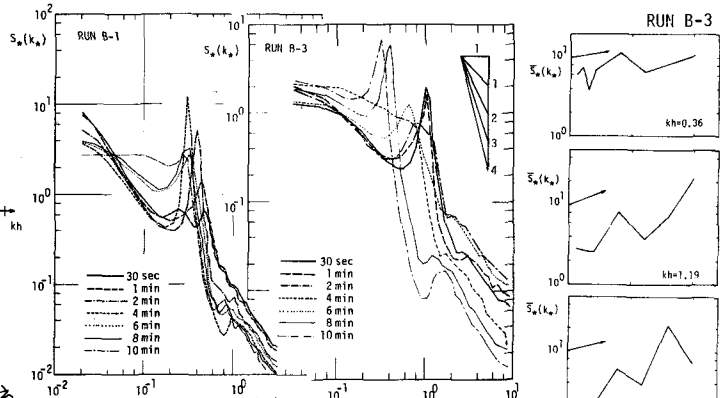


Fig.6

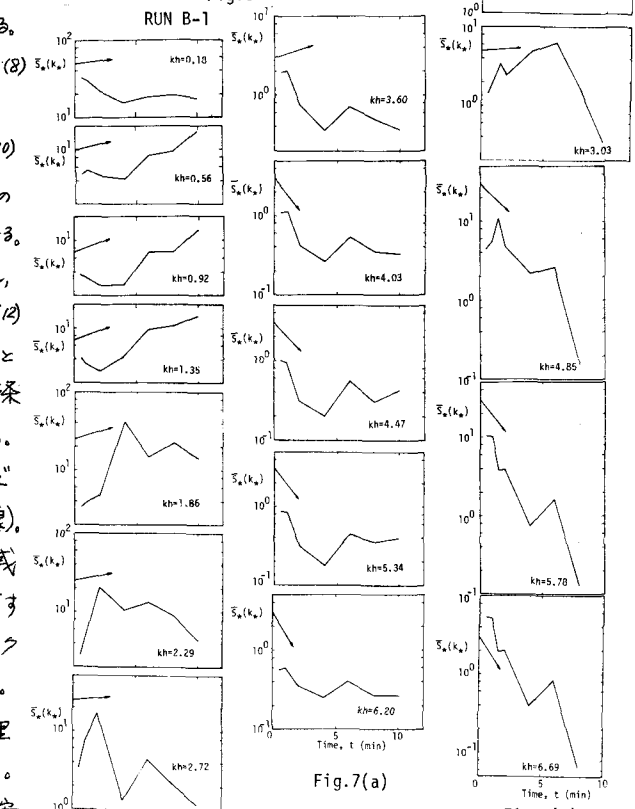


Fig.7(a)

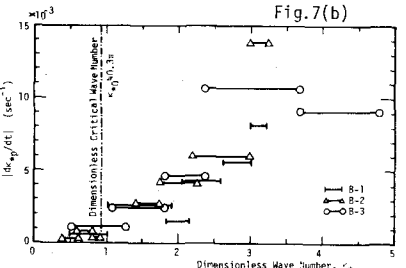


Fig.7(b)